

# Architecture SoC-FPGA adaptable dédiée à l'analyse d'images

Alain AUBERT, Nathalie BOCHARD, Virginie FRESSE

---

**Projet EmSoC**

**Villard de Lans, 8-9 juin 2006**



# Plan de la présentation

---

- Description de l'architecture adaptable
- Application d'analyse d'images : PIV
- Prédictabilité de l'architecture après modifications
- Perspectives de travail



## Description de l'architecture adaptable

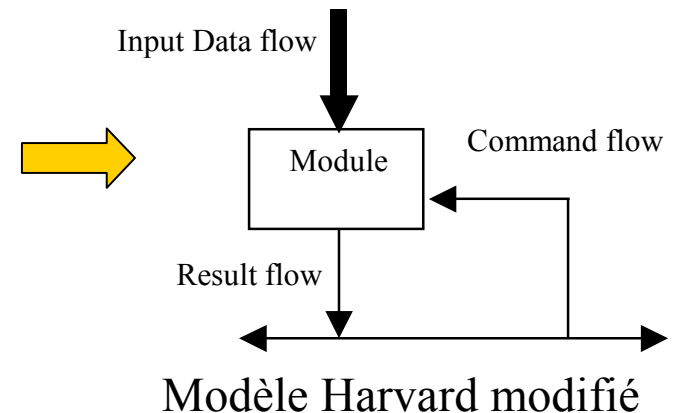
---

- Caractéristiques propres à l'analyse d'images
- Analyse des différents modules de l'architecture
- Protocole de communication

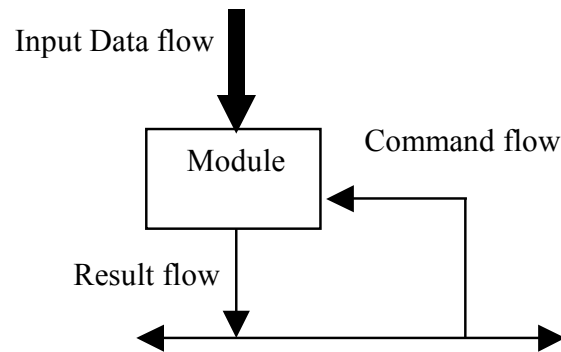
# Caractéristiques algorithmiques

- Algorithmes d'analyse d'images
  - Plusieurs opérations à réaliser:
    - Opération d'acquisition
    - Opération de stockage (images)
    - Opération de traitement (corrélation)
    - Opération de contrôle
  - Flot d'entrée important : images à traiter
  - Flot de sortie faible : résultats (vecteurs)
  - Parallélisme implicite :
    - Plusieurs zones de l'image peuvent être traitées simultanément

⇒ Organisation en modules réalisant ces opérations



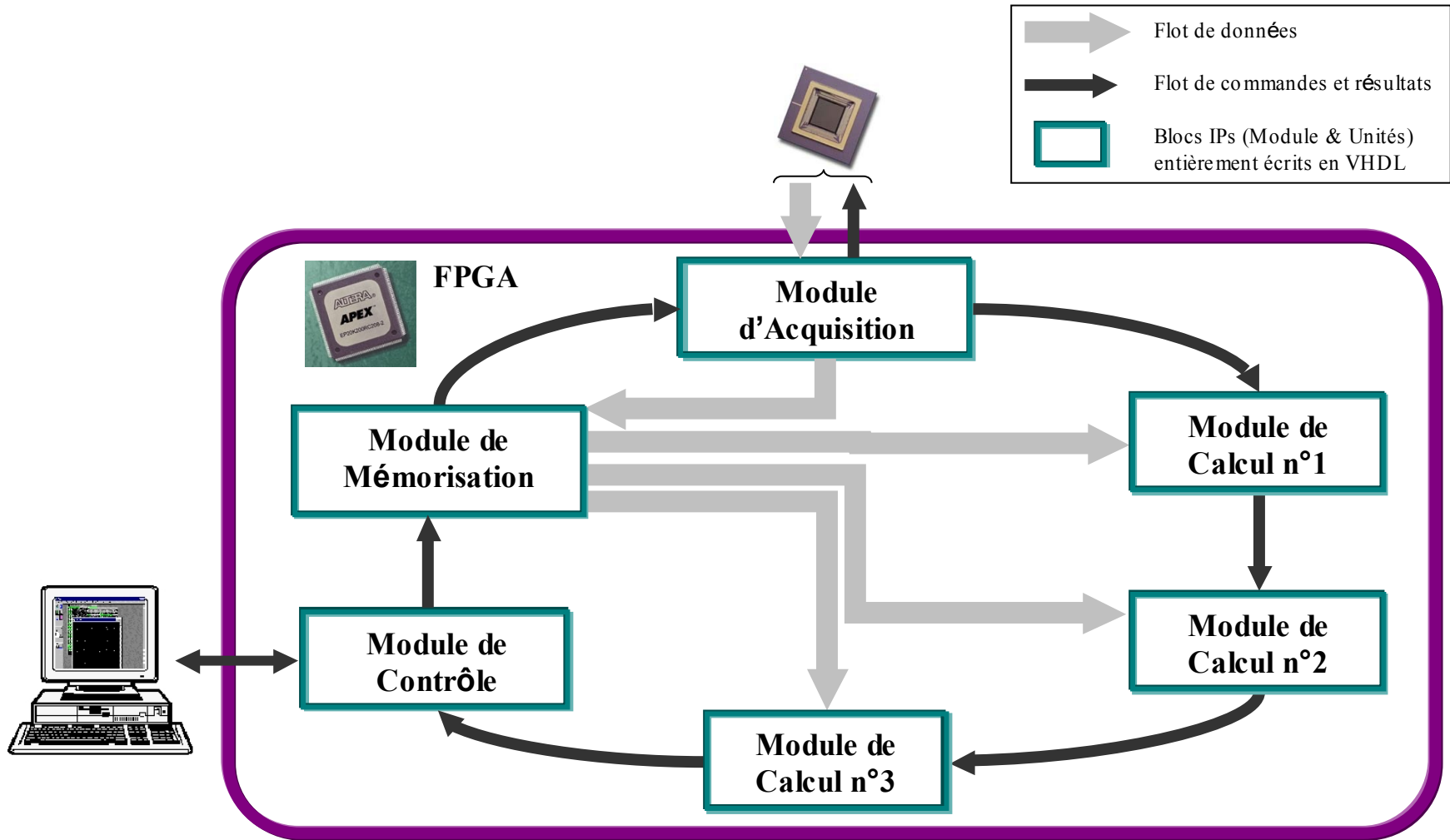
# Modèle Harvard modifié proposé



Modèle Harvard modifié

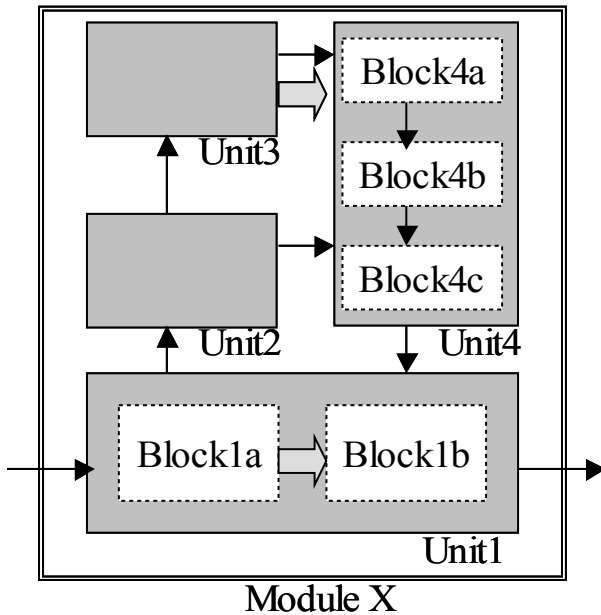
- Approche NoC:
  - Flot de données d'entrée **via un bus** à bande passante élevée
  - Flot de sortie associé aux commandes **via un anneau**
- Approche GALS (Globally Asynchronous Locally Synchronous):
  - Chaque module possède sa propre fréquence

# Architecture proposée



# Analyse des modules: structure générale

## ■ Principe de modularité



- 1 module = 1 opération
  - Opération d'acquisition
  - Opération de stockage (images)
  - Opération de traitement (corrélation)
  - Opération de contrôle
- 1 unité = 1 fonction principale
  - Décodage
  - Contrôle
  - Corrélacion
  - Interfaçage
- 1 bloc = 1 fonction élémentaire
  - Mémoire
  - Comparateur
  - Machine d'état



# Analyse des modules: adaptabilité / réutilisation

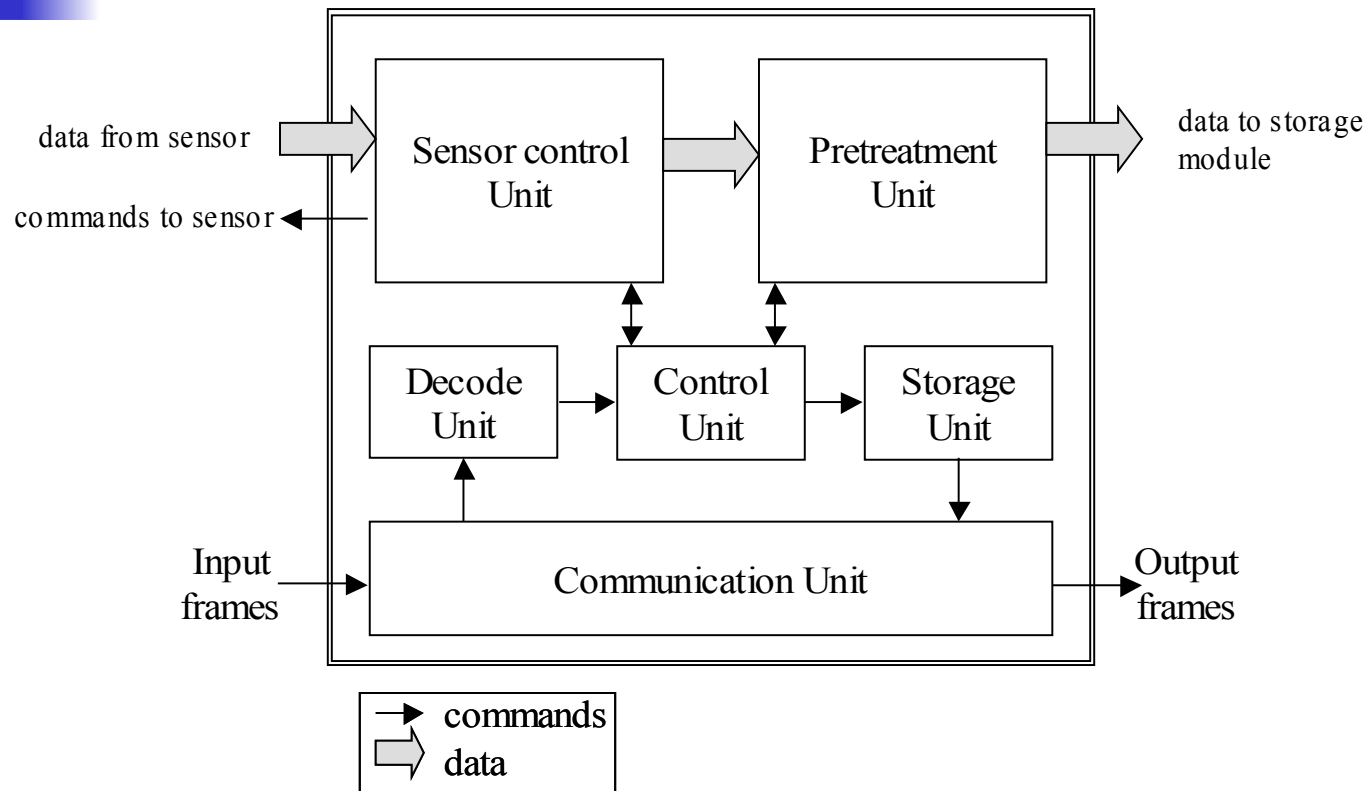
---

- Architecture modulaire construite autour du principe de réutilisation directe du maximum de blocs lors des modifications nécessaires aux différentes adaptations possibles
  - 2 catégories de modules:
    - Module statique → réutilisable sans modification
    - **Module dynamique → dépendant du type de changement**
      - Répartition/ordonnancement vers les différents modules
      - Changement de paramètres de l'algorithme
      - Changement d'algorithme
      - Changement d'éléments physiques (source de données, capteur...)

**Le degré de réutilisation de l'architecture s'évalue par le pourcentage entre les modules dynamiques et statiques**

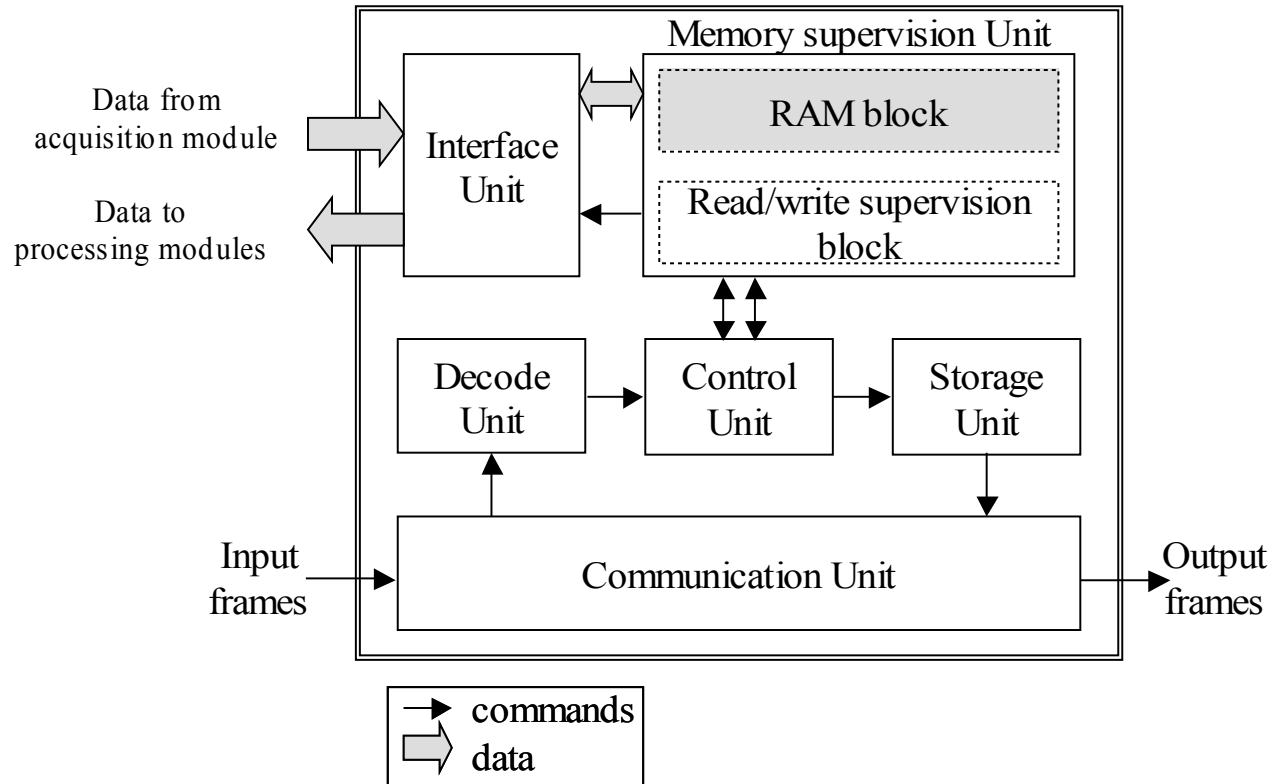


# Module d'acquisition



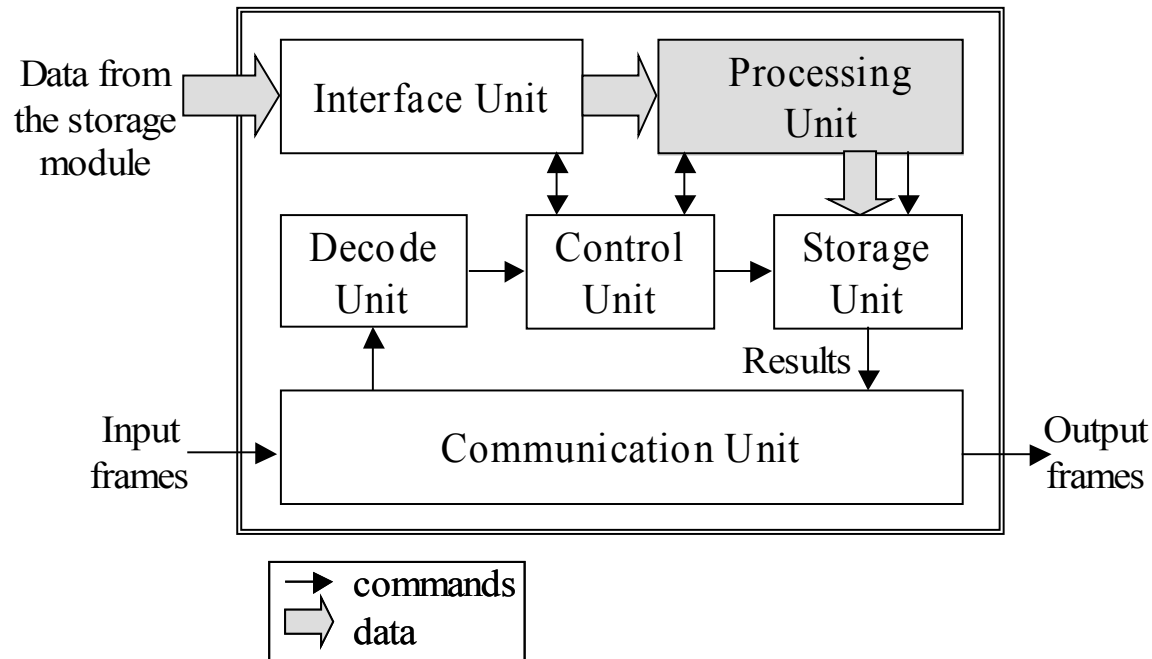
- Permet l'acquisition d'images/données via un imageur CMOS.

# Module de mémorisation



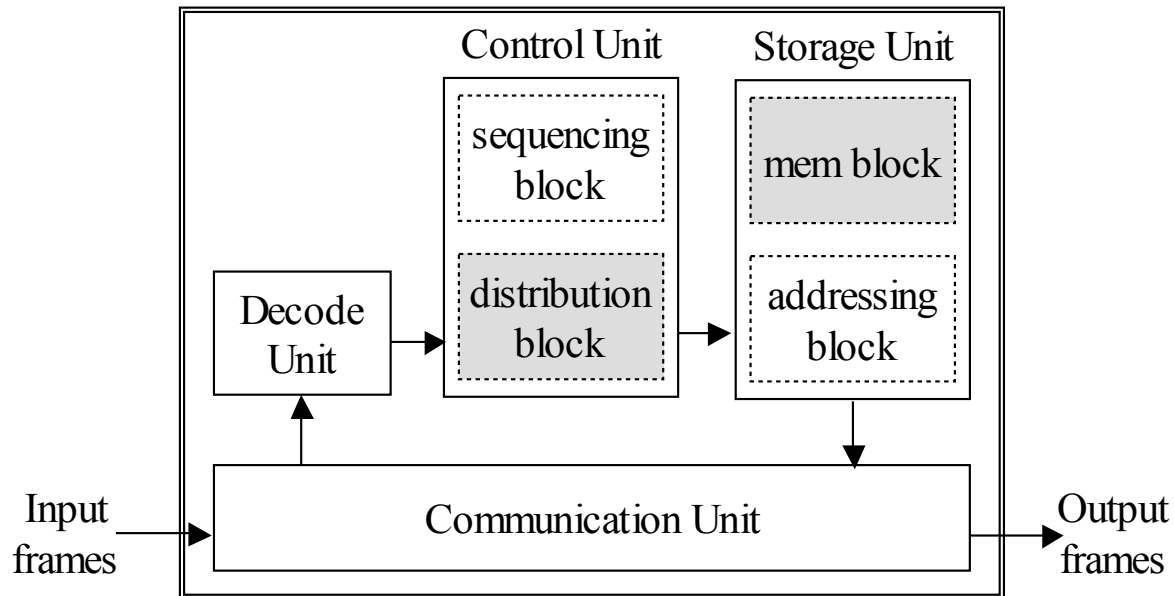
- Mémorise les données provenant de l'imageur dans des mémoires embarquées du FPGA.

# Module de traitement



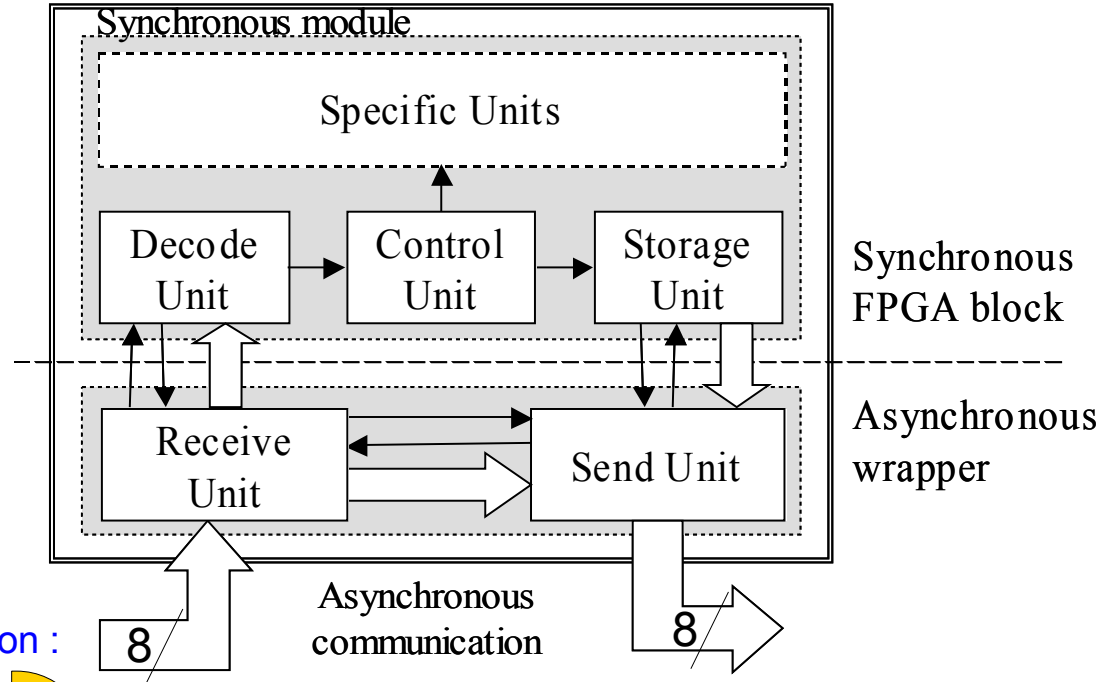
- Contient la logique nécessaire à la corrélation binaire. Le nombre de modules de traitement dépend du paramétrage de l'algorithme.

# Module de contrôle

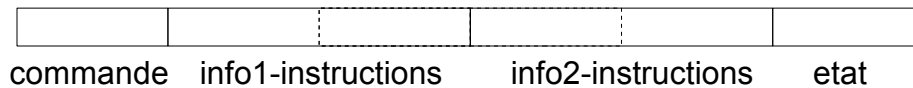
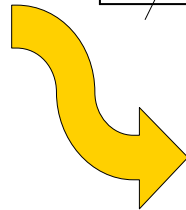


- Contrôle entièrement centralisé sur le module de contrôle. Il envoie les commandes aux divers modules via l'anneau de communication.

# Protocole de communication



Anneau de communication :  
1 trame = 6 octets



Ex : ordre de lecture d'une imagerie pour le module de stockage

MS + lecture

Adresse départ

Taille

Occupé  
Traité  
Problème



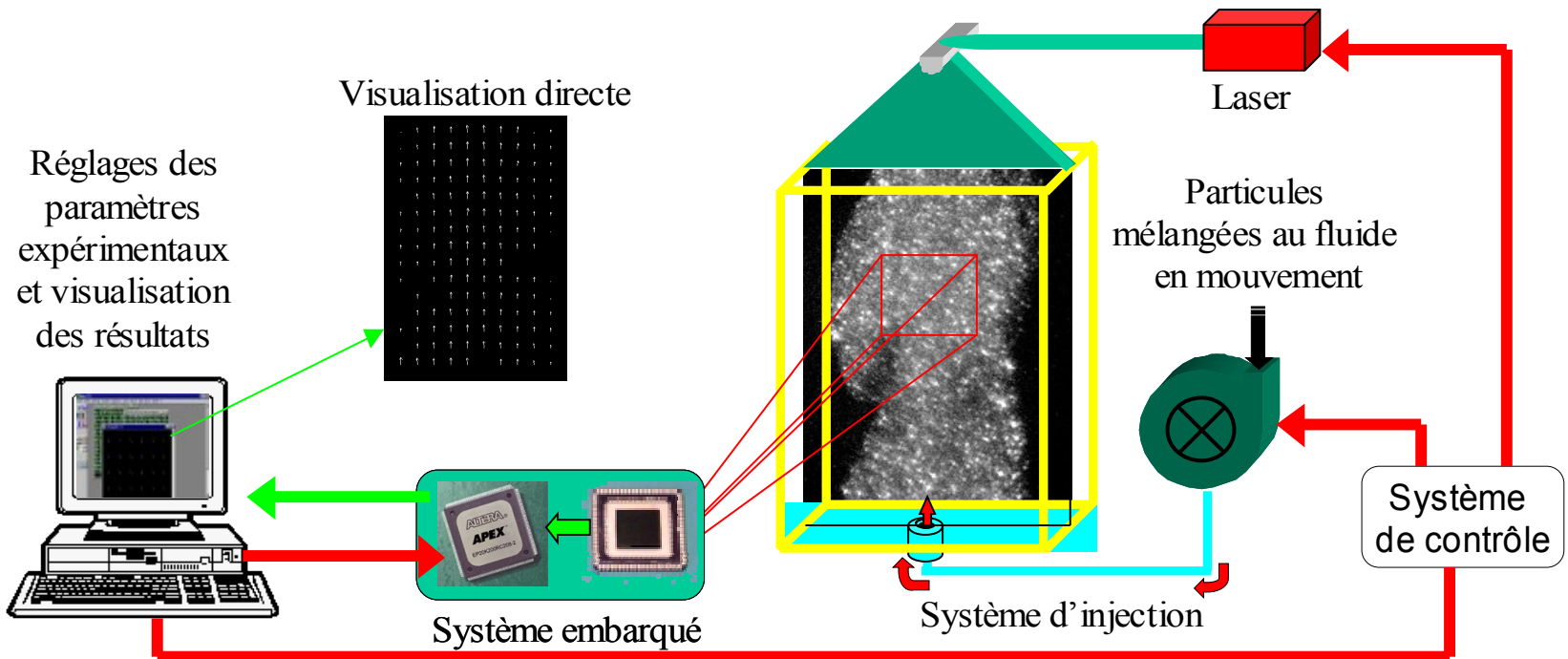
# Application d'analyse d'images : PIV

---

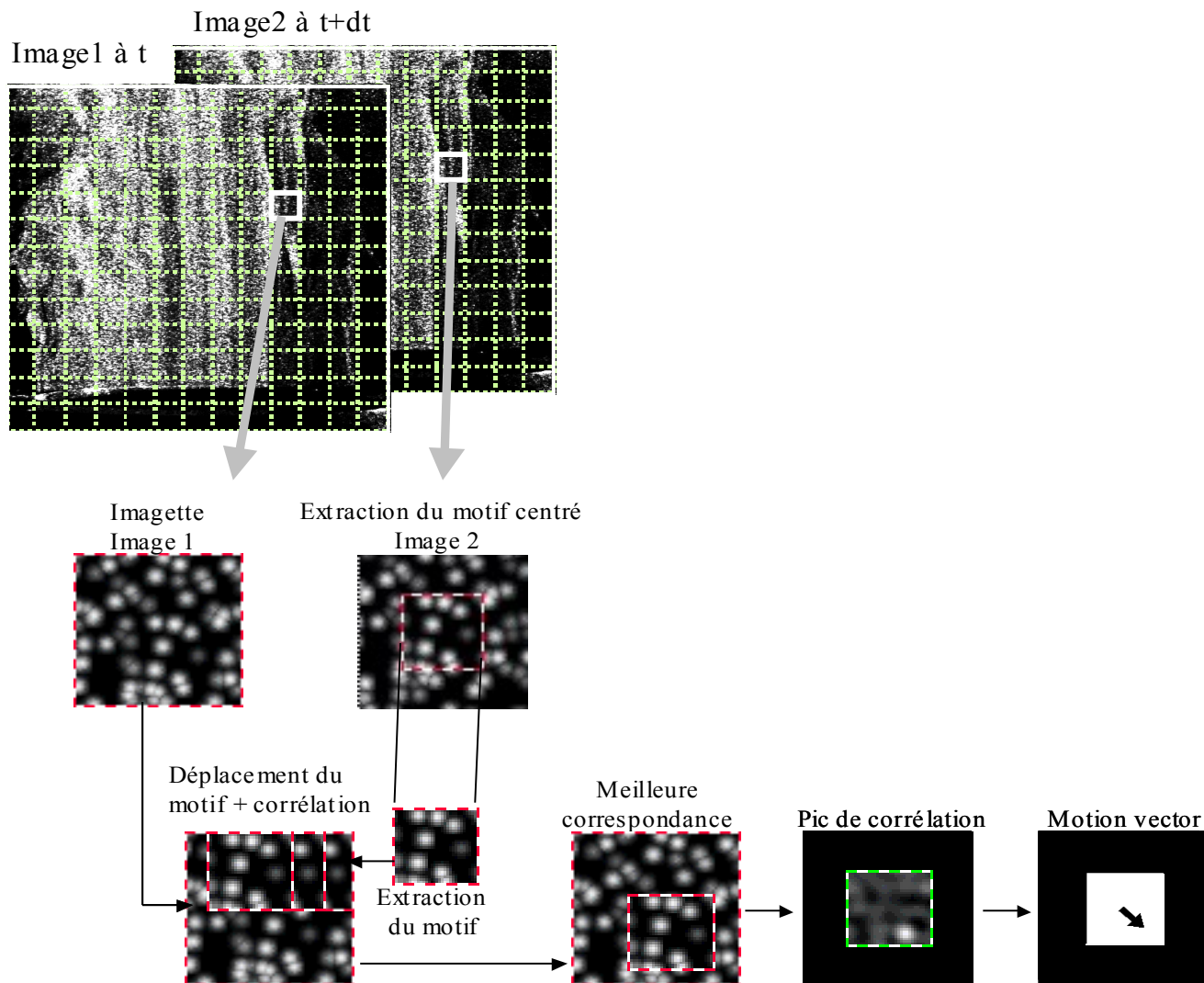
- Présentation et principe
- Algorithme implanté : corrélation binaire

# PIV: présentation

- Application PIV : Véllocimétrie par image de particules
  - Calcul de champs de vecteurs vitesse dans l'écoulement d'un fluide



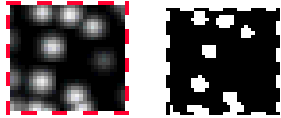
# PIV: principe



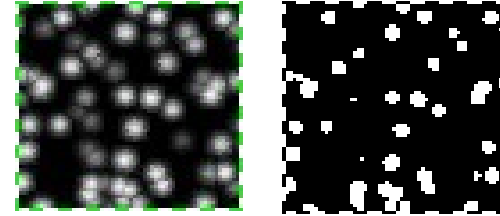


# PIV: algorithme implanté

Motif  $s_1$   
( $M \times M$ )



Imagette  $s_2$   
( $N \times N$ )



## ■ Corrélation Direct :

$$f(i, j) = \sum_{x=0}^{M-1} \sum_{y=0}^{M-1} [s_1(x, y) \times s_2(x-i, y-j)]$$

$i, j \in [0, N-M]$

*adaptation à une structure matérielle*

## ■ Corrélation Binaire :

$$f(i, j) = \sum_{x=0}^{M-1} \sum_{y=0}^{M-1} [s_1(x, y) \text{ XNOR } s_2(x-i, y-j)]$$

- Précision suffisante des calculs de déplacement pour la plupart des applications (précision sub-pixel) si seuillage adaptatif pour chaque imagette.



# Prédictabilité de l'architecture après modifications

---

- Impact des différents types de modifications sur les modules de l'architecture
- Exemples de modifications pour la PIV
  - Modification de la répartition des tâches
  - Modification des paramètres de l'algorithme
- Modèles de prédiction pour ces exemples
- Résultats expérimentaux vs modèles

# Impact des différents types de modifications sur les modules

Modifications \ Modules	Contrôle	Traitement	Acquisition	Mémorisation
Répartition des tâches	PIV: parallélisation des opérations (nombre de modules de calcul)			
Paramètres de l'algorithme		PIV: taille de l'imagette		
Sources de données	Passage d'un capteur CCD à un capteur CMOS			
Algorithme	PIV: corrélation niveau de gris ou par FFT ou autre algorithme d'analyse d'image			

 Modules dynamiques

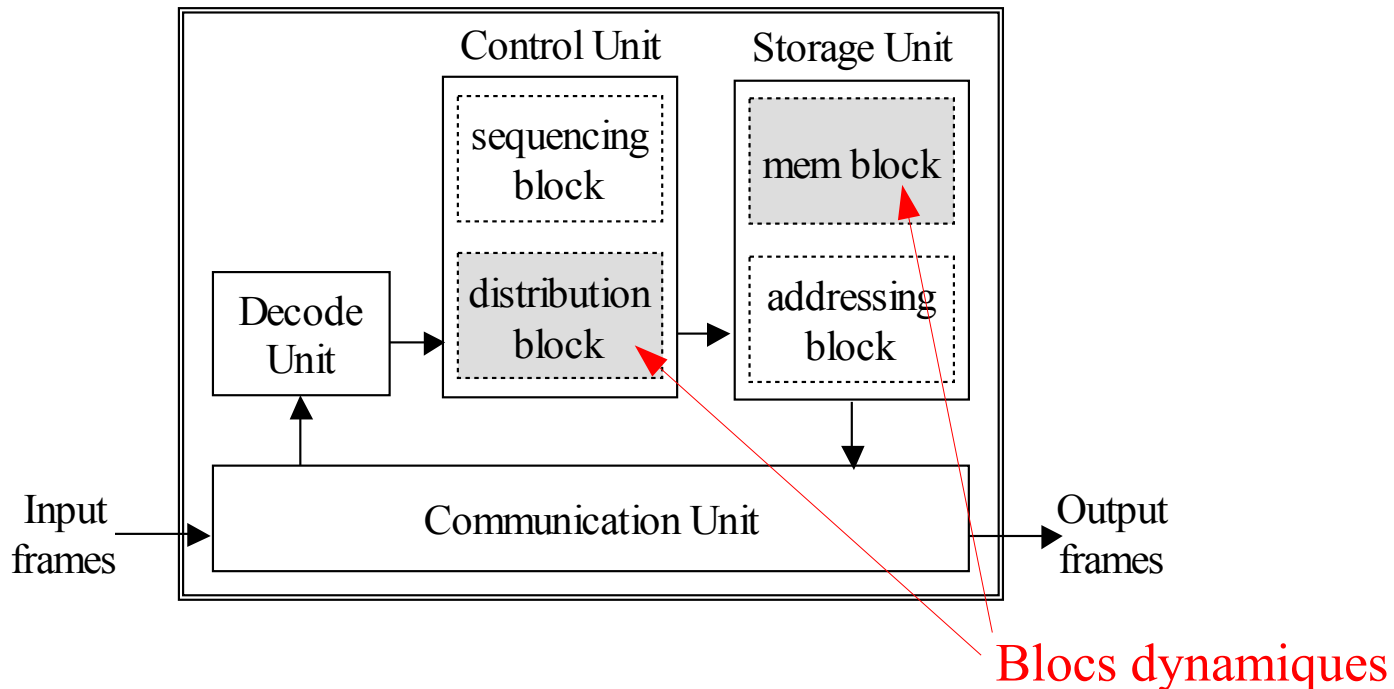
 Modules statiques

- Peut-on prévoir à l'avance (prédiction par modèles) les ressources et les timing des modules dynamiques ?
  - Cela dépend du type de modifications

# Exemples de modification pour la PIV

- PIV : Modification de la répartition des tâches
  - Parallélisation du traitement : augmentation du nombre de modules de calcul

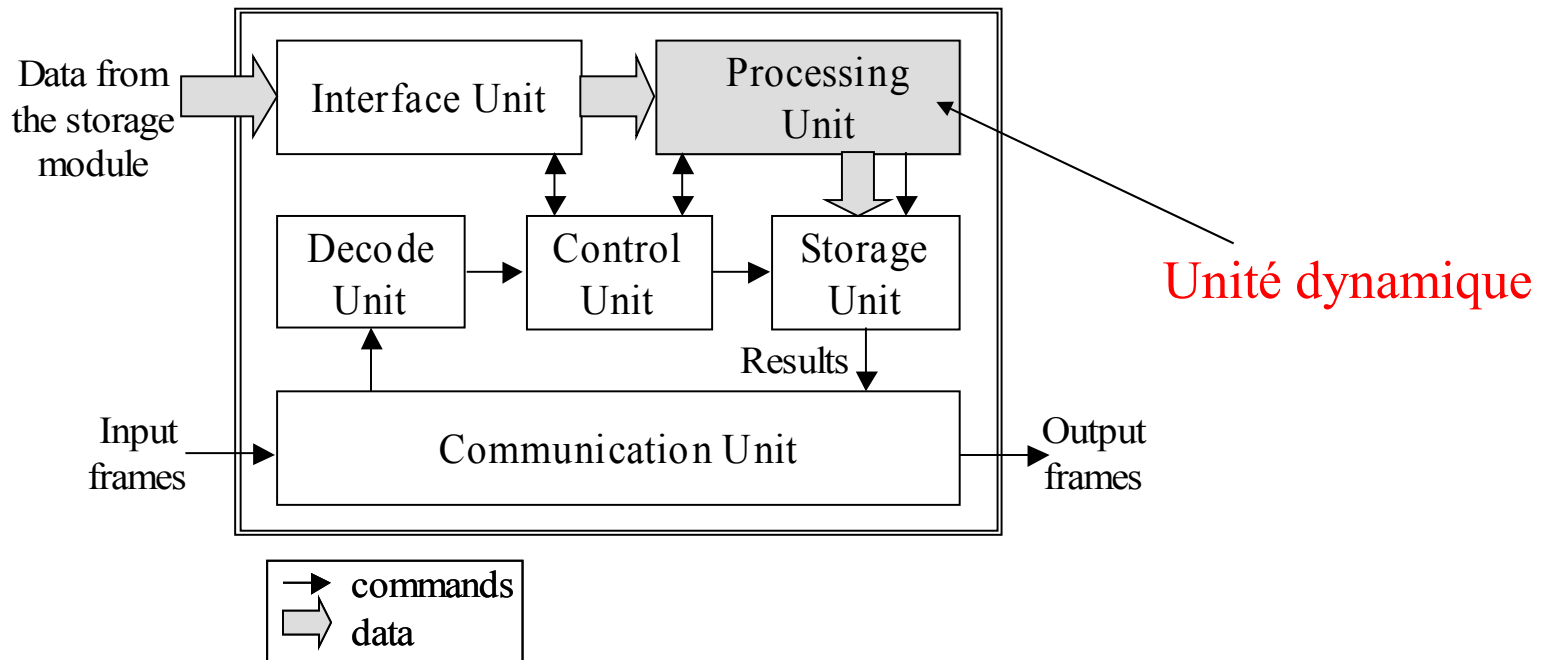
→ Module dynamique : module de contrôle



# Exemples de modification pour la PIV

- PIV : Modification des paramètres de l'algorithme
  - Passage d'une image 32x32 à une image 64x64

→ **Module dynamique : module de calcul**



# Exemples de modification pour la PIV

- Peut-on prévoir à l'avance pour ces 2 exemples les ressources et les timing des modules dynamiques ?
  - Oui à partir d'une première implantation
  - Caractéristiques de la première implantation :
    - Taille de l'image : 320x256 pixels
    - Taille de l'imagette : 32x32 pixels
    - Taille du motif : 16x16 pixels
    - Nombre de modules de calcul : 1
    - Fréquences :
      - $F_{acq} = 50 \text{ Mhz}$
      - $F_{mem} = F_{cal} = 100 \text{ Mhz}$
      - $F_{ctrl} = 150 \text{ Mhz}$



# Modèles de prédiction

---

- Modification de la répartition des tâches
  - La première implantation nous permet d'extraire les modèles suivants :
    - Au niveau des ressources :
      - $R_{global} = R(AM) + R(SM) + R(CM) + N \times R(PM)$
      - $Lc = 767 + 457 \times N$
      - $Rg = 867 + 492 \times N$
      - $Mb = 524\ 320 + 1280 \times N$
    - Au niveau du temps d'exécution (temps moyen de calcul d'un vecteur) :

- $$T_v = \frac{N \times T_{com} + T_{proc}}{N}$$



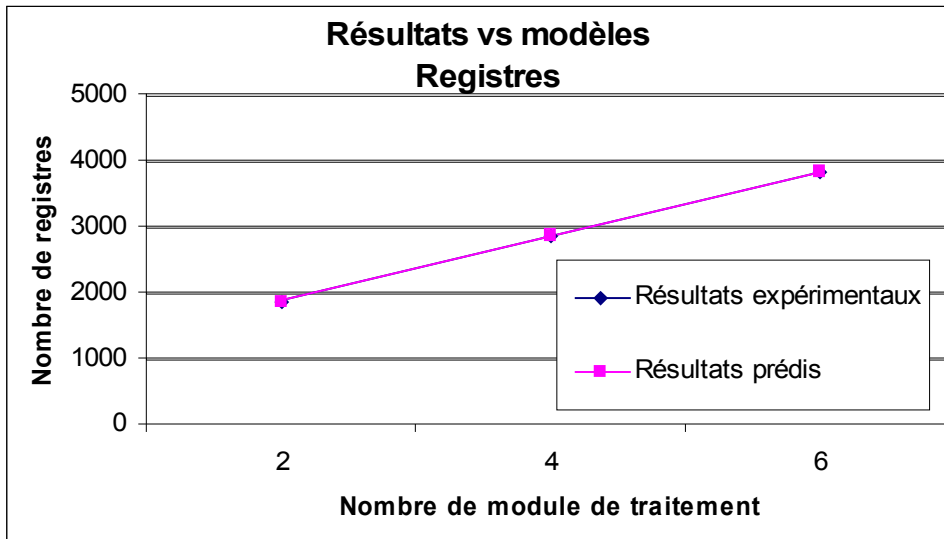
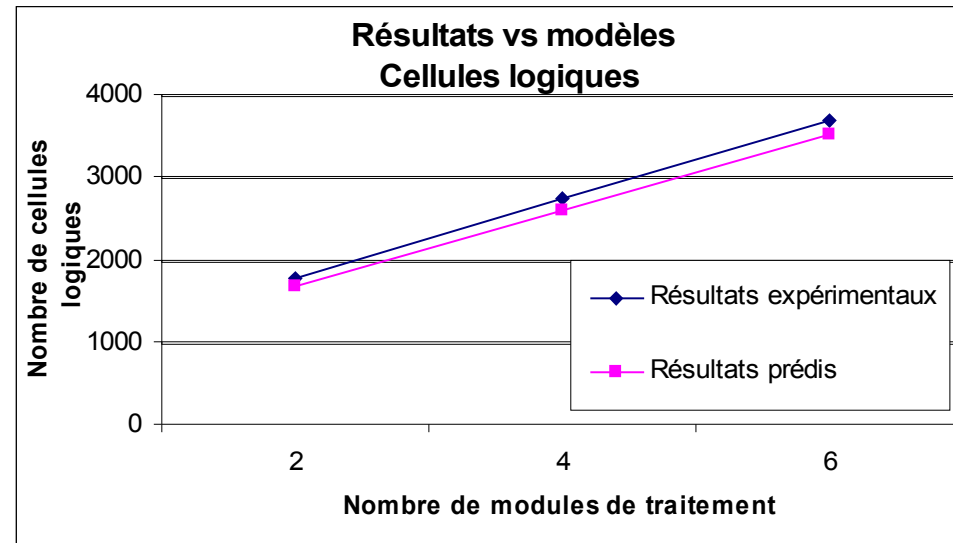
# Modèles de prédiction

- Modification des paramètres de l'algorithme
  - La première implantation nous permet d'extraire les modèles suivants :
    - Au niveau des ressources :
      - $Lc = 1\ 038 + 186 \times S/32$
      - $Rg = 1\ 142 + 217 \times S/32$
      - $Mb = 524\ 320 + S^2 \times (S/32)^2$
    - Au niveau du temps d'exécution (temps moyen de calcul d'un vecteur) :
      - $T_v(\mu s) = 5,6 + 4,9 \times (5/4) \times (S/32)^2 + T_{clk} \times S/2 \times (S/2+1)^2 \quad si\ S > 32$
      - $T_v(\mu s) = 5,6 + 4,9 \times (3 \times S/64) + T_{clk} \times S/2 \times (S/2+1)^2 \quad si\ S \leq 32$



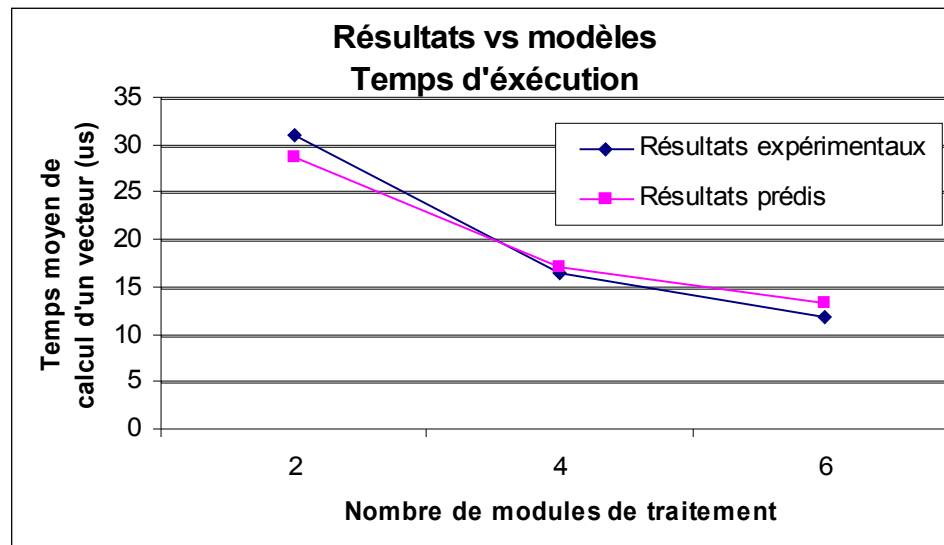
# Résultats expérimentaux vs modèles

- Modification de la répartition des tâches
  - En terme de ressources



# Résultats expérimentaux vs modèles

- Modification de la répartition des tâches
  - En terme de temps d'exécution



# Résultats expérimentaux vs modèles

- Modification des paramètres de l'algorithme
  - En terme de ressources

	16×16 window		32×32 window	64×64 window	
	Result	Prediction	Result	Result	Prediction
Logic cells	1 068	1 131	1 224	1 375	1 410
Registers	1 211	1 251	1 359	1 600	1 576
Mem. bits	524 608	524 640	525 600	529 344	529 440

- En terme de temps d'exécution

	16×16 window		32×32 window	64×64 window	
	Result	Prediction	Result	Result	Prediction
Tv (μs)	16,8	15,8	59,6	381,0	378,6



# Perspectives de travail

---

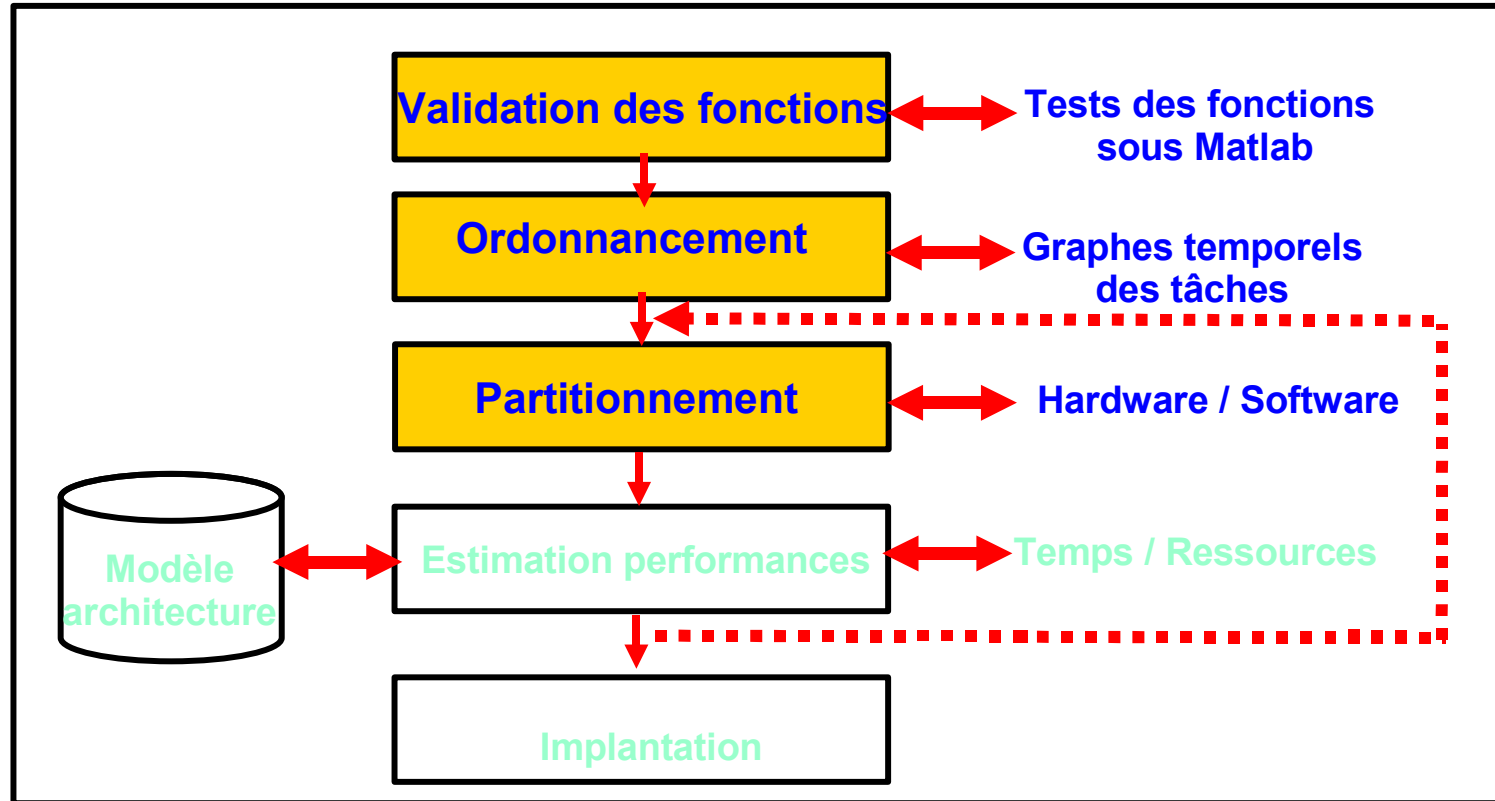


# Perspectives de travail

---

- Objectif : mettre au point un flot de conception automatique ou semi automatique de portage d'algorithmes vers une cible matérielle
  - Contraintes :
    - Classe d'applications : analyse d'images (flot d'entrée dominant)
    - Architecture cible prédéfinie :
      - architecture modulaire développée au sein de l'équipe
    - Cible matérielle : mono FPGA
    - Portage optimisée en :
      - temps de traitement
      - et/ou ressources utilisées
      - et/ou temps de développement (Time to Market)
    - Utilisation de processeurs SoftCore
  - Tâches à effectuer:
    - Caractériser et modéliser l'architecture cible prédéfinie
    - Sélectionner et évaluer les outils existants correspondant à nos contraintes, puis proposer des améliorations et créer d'éventuelles passerelles entre outils

# Perspectives de travail



- 1<sup>ère</sup> application de cette nouvelle méthodologie : reconnaissance de signatures multi-spectrales d'oeuvres d'art